

المجلة العراقية للعلوم الإحصائية



http://stats.uomosul.edu.iq

مقارنة التنبؤ لنماذج دالة التحويل ونماذج فضاء الحالة باستخدام الاسلوب المضبب

فهد سامر صبحي 🏴 و هيام عبد المجيد حياوي 💴

قسم الاحصاء والمعلوماتية ، كلية علوم الحاسوب والرياضيات ، جامعة الموصل ، الموصل ، العراق

الخلاصة

معلومات النشر تاريخ المقالة:

حريع المتعدد. تم استلامه في 2 تشرين الأول 2021 مناح على الإنترنت في 1 كانون الأول

الكلمات الدالة

النماذج الحركية، دالة التحويل، السلاسل الزمنية

المراسلة:

فهد سامر صبح*ي*

fahadsamar1994@gmail.com

DOI: 10.33899/IQJOSS.2021.169968, ©Authors, 2021, College of Computer Science and Mathematics, University of Mosul This is an open access article under the CC BY 4.0 license (http://creativecommons.org/licenses/by/4.0/).

تضبيب البيانات وبناء نماذج دالة التحويل ونماذج فضاء الحالة وايجاد القيم التنبؤية ومقارنة النتائج.

يهدف البحث الى بناء نماذج حركية متمثلة بدالة التحويل ونماذج فضاء الحالة لمتغير ادخال منفرد ومتغير اخراج منفرد

اذ يتمثل متغيري الادخال والاخراج بدرجات الحرارة للمياه قبل عملية التصفية وبعد عملية التصفية لتحويله الى ماء

صالح للشرب ، اذ سيتم بناء نموذج دالة تحويل لمتغير ادخال منفرد ومتغير اخراج منفرد للبيانات الحقيقية ومن ثم

. المقدمة Introduction

تعد عملية التخطيط من أهم المسببات الرئيسة في نطور الأمم وتقدمها، وأن التخطيط الجيد هو الذي يعتمد في بناء البرامج التنموية على الأساليب العلمية المتطورة وبالأخص الأساليب الإحصائية الحديثة، ومنها استخدام نماذج السلاسل الزمنية في تحليل الظواهر بشكل عام، الأمر الذي فتح المجال الواسع للباحثين في دراسة موضوع السلاسل الزمنية وتحليلها لكونها من المواضيع المهمة في تحليل وتفسير سلوك الظواهر من خلال دراسة تطورها التاريخي عبر فترات زمنية قد تكون يومية أو فصلية أو شهريةالخ ، وذلك لأغراض التنبؤ بما سيحدث في مستقبل هذه الظواهر بأقل خطأ ممكن. وأن هذه العملية نتطلب دراسة تحليلية وافية للنماذج الإحصائية باعتماد أساليب رياضية وعلمية التي يمكن معاملتها مع متغيرات الحاضر وتوقعات المستقبل.

2. دالة التحويل Transfer Function

تعرف دالة التحويل بانها نموذج ديناميكي يصف العلاقة الديناميكية التي تربط سلسلة المدخلات (Inputs) بسلسلة المخرجات (Outputs) واحدة او أكثر حيث يقوم بتحويل سلسلة المدخلات يظهر تأثيرها في سلسلة المخرجات عن x_t من خلال نظام ديناميكي الى سلسلة مخرجات y_t وان سلسلة المدخلات يظهر تأثيرها في سلسلة المخرجات عن طريق دالة التحويل بافتراض ان x_t و متسلسلات زمنية في حالتها المستقرة (Stationary) حيث يتوزع تأثير المدخلات على فترات زمنية مستقبلية قد يكون هناك تأخير زمني قبل ان تستجيب سلسلة المخرجات،

تهدف نماذج دالة التحويل الى تحديد نموذج ذو علاقة قوية لا y_t مع x_t و n_t إذ أن الأخير يمثل كل التأثيرات الأخرى على العملية الحركية ويسمى الضوضاء (Noise)، ويستخدم هذا النموذج للتنبؤ ويتضمن هذا النموذج أكثر من سلسلة زمنية واحدة ويعرض الخصائص الحركية للنظام، ويسمى هذا النموذج بنموذج بنموذج بنموذج الانحدار الحركي (Dynamic Regression) بسبب العلاقة الحركية بين متغير الادخال والمتغيرات الاخراج (Makridakis.,1983).

2.1 الصيغة العامة لنموذج دالة التحويل General Formula of Transfer Function Model

ان صيغة دالة التحويل يعبر عنها من خلال العلاقة الديناميكية بين متسلسلتين من المتسلسلات الزمنية احدهما متسلسلة المدخلات x_t والأخرى متسلسلة المخرجات y_t ولهذه العلاقة أهمية كبيرة في التتبوء بقيم y_t المستقبلية وعلى هذا الأساس تكون ذات اهمية كبيرة وبارزة في عملية التحليل الدقيق على المخرجات التحليل الدقيق على الفتراض ان كلاً من سلسلتي المدخلات والمخرجات مستقرة (Stationary) ومرتبطتان من خلال مرشح خطي (Linear Filter) إن ديناميكية العلاقة بين x_t و x_t x_t

$$Y_t = C + V(B)X_t + N_t \tag{1}$$

أذ ان: N_t تمثل الحد الثابت. X_t : هي سلسلة المدخلات. Y_t : هي سلسلة المخرجات. N_t : هي سلسلة التشويش الأبيض (Noise).

نتشير الى دالة التحويل الخاصة بنماذج بوكس-جنكيز وهي عبارة عن مرشح خطى. V(B)

Impulse Response Function 2.2

تعد دالة الاستجابة النبضية او ما يطلق عليها دالة التحويل عبارة عن مؤشر للعلاقة بين المدخلات والمخرجات وتسمى بأوزان او نبضات الاستجابة النبضية ويمكن كتابة اوزان نبضات الاستجابة بوصفها نسبة بين متعددتي حدود (Polynomial) W(B) بالشكل الأتي: $\delta(B)$ $\delta(B)$

$$V(B) = \frac{w_S(B)B^b}{\delta_T(B)} \tag{2}$$

(Β) ω: تمثل التأثير الابتدائي (Initial effect)،أي تشـير إلى اي مدى سـلسـلة المخرجات متأثرة بالقيم الجديدة لسلسلة المدخلات ذا الرتبة S.

نا التضاؤل (Damping factor)، للتأثير الابتدائي، أي تشير إلى أن سلسلة المخرجات ترتبط مع القيم السابقة لها الى حد K_{t-r} : الرتبة تا. $\delta(B)$: تمثل عامل التضاؤل (Damping factor)، للتأثير الزمن الميت.

وإن:

$$V(B) = V_0 + V_1 B + V_2 B^2 + \tag{3}$$

2.3 منهجية بوكس جنكنز في تشخيص نماذج دالة التحويل Box Jenkins Methodology for Identification Transfer Function Models لتشخيص نماذج السلاسل الزمنية اعتمادا فناك ثلاثة مراحل لتشخيص نماذج السلاسل الزمنية اعتمادا على سلسلتي المدخلات والمخرجات ويمكن ملاحظة هذه الخطوات بالمراحل الأتية (Box-Jenkins,2016)

- 1- التعرف على نموذج دالة التحويل من خلال مايلي:
 - أ) تهيئة سلسلتي المدخلات والمخرجات.
 - ب) تتقية سلسلتي المدخلات والمخرجات
- ت) حساب الارتباط المتقاطع بين السلاسل التي تم تنقيتها للمدخلات والمخرجات.
 - ث) تقدير اوزان دالة التحويل بالاعتماد على دالة الارتباط المتقاطع .
- ج) تحديد رتب متعددات الحدود (s,r,b) لنموذج دالة التحويل وذلك للربط بين سلسلة المدخلات والمخرجات من خلال دالة الارتباط المتقاطع او استخدام طريقة جدول الزاوية.
 - ح) تحديد نموذج حد الازعاج المتمثل بنموذج ARMA.
 - 2- تقدير معلمات نموذج دالة التحويل باستخدام احدى طرق التقدير وسيتم استخدام طريقة المربعات الصغري.
- 3- اجراء الفحوص التشخيصية من خلال فحص دالتي الارتباط الذاتي والذاتي الجزئي لسلسلة البواقي وفحص دالة الارتباط المتقاطع بين المدخلات التي تم تنقيتها والبواقي.
 - 4- استخدام النموذج الذي تم الحصول عليه في التنبؤ.

3. معاییر اختبار دقة التنبؤ

ان التنبؤ المستقبلي لأي ظاهرة يحتوي على قدر معين من عدم التنبؤ ويتم معالجة ذلك من خلال فحص اخطاء التنبؤ المتتالية ومعرفة مدى ملائمة اسلوب التنبؤ المستخدم ويتم ذلك من خلال بعض معايير اختبار دقة التنبؤ كثيرا ما يطلق على الدقة Accuracy كلمة حسن المطابقة Goodness of Fit والتي تشير إلى كيفية جعل نموذج التنبؤ قادراً على توليد بيانات ذات كفاءة ، وهناك عدة معايير يمكن من خلالها ضبط دقة النموذج في التنبؤ منها: (Makridakis, 1998).

Mean Error معيار متوسط الخطأ 3.1

ويحسب بالصيغة الآتية (Najm,2001):

$$ME = \frac{1}{n} \sum_{t=1}^{n} (y_t - \hat{y}_t)$$
 (4)

اذ أن: Y_t : تمثل القيم الحقيقية للسلسلة، \hat{Y}_t : تمثل القيم المتنبأ بها للسلسلة، n: تمثل فترة التكهن.

Mean Square Error الأخطاء 3.2

وبعرف بالصيغة الآتية:

$$MSE = \frac{\sum_{t=1}^{n} (Y_t - \hat{Y}_t)}{n}$$
 (5)

3.3 معيار الجذر التربيعي لمتوسط مربعات الخطأ

يسمى ايضاً بالمعيار الخطأ المعياري للتقدير حيث يسمح هذا المعيار بإلغاء اثر القيم الكبيرة والتضخيم الناجم على متوسط مربع الخطأ, وان الصيغة الرياضية لهذا المعيار هي(Najm,2001):

$$MSE = \sqrt{\frac{1}{n} \sum_{t=1}^{n} (y_t - \hat{y}_t)^2}$$
 (6)

State-Space Models الحالة 4

فضاء الحالة هو نهج رياضي خاص لتمثيل الأنظمة الحركية المختلفة يعتمد أساسا على فكرة الخاصية الماركوفية. إن تمثيل فضاء الحالة هو عبارة عن نموذج رياضي لتمثيل نظام فيزياوي باعتباره مجموعة من المدخلات input والمخرجات output بوساطة زوج من المعادلات التفاضلية الفرقية من المرتبة الأولى ، تصف الأولى متجه المدخلات عند الزمن t+1 ويرمز له t+1 ويرمز له t+1 ويرمز له يدلالة المدخلات عند الزمن t+1 ويرمز له t+1 وتسمى هذه المعادلة معادلة المشاهدة Observation Equation ويمكن توضيح هاتين المائنية المخرجات t+1 ومخرج واحد (Single Input Single Output) وهي: (Jose ,et.ac.,2016)

$$X_{t+1} = AX_t + BU_t \tag{7}$$

$$Y_t = CX_t + DU_t \tag{8}$$

إذ أن:-

. (n*n) تمثل الديناميكية المستقلة للنظام ببعد (n*n). B : يمثل تأثير أفعال السيطرة ببعد: A

يمثل الإسقاط على المتغيرات المشاهدة ببعد (n*1), (n*1) يمثل قيمة حقيقية. C

وتؤدي هاتان المعادلتان دوراً مهماً في دراسة النظم الديناميكية إذ يعبر عن المدخلات والمخرجات من خلال معادلة فرقية عند وجود نظام محدد في الزمن المتقطع وتكون هناك عادة اضطرابات غير مسيطر عليها تعامل كمتغيرات عشوائية أو تشويش يؤثر في المخرجات (Nelles,2001).

Fuzzy Logic : المنطق المضبب

عرف المنطق المضبب من قبل المهندس لطفي زادة من خلال نظرية المجموعات المضببة Fuzzy Set Theory في عام 1965 اذ اكتشف طريقة لمعالجة الانظمة المعقدة وبين ان زيادة التعقيد في النظم تزيد من عدم التأكد Uncertainty وبالتالي يحث نقص في المعلومات المطلوبة عن النظم مما دفعه الى استخدام اسلوب التضبيب الذي اعتبره الحل في نظرة العالم الحقيقي لمثل هكذا مشاكل قد تواجه الباحثين ومن خلاله طبق المنطق المضبب المضبد واخرون،2018 المبنى على نظرية المجموعات المضببة بشكل واسع في مختلف النظم وحقق نجاحات واسعة ومن ضمنها في المجال الاحصائي. (حميد واخرون،2018) تبدأ

تخوم المنطق المضبب عندما تبرز المجموعات المضببة Fuzzy Set بديلا عن المجموعات التقليدية، وتعرف المجموعة المضببة بأنها تعميم للمجموعات الكلاسيكية التي تتمتع بصفة اساسية وهي أن حدودها تأخذ درجة عضوية اما (1 or 0) اي انها تتمتع بصفة الانتماء التام او غير التام (Bandemer , 2006), اذ ان فكرة الانتماء تلك لا تكون مناسبة دائماً للتعامل في العديد من التطبيقات ،اذ ان كل مجموعة مضببة ولتكن A تعرف بدلالة المجموعة الشاملة المناسبة لها ولتكن X متابعة للدالة المميزة للمجموعات البينية والتي تعرف بالدالة العضوية ويرمز لها بالرمز M وان كل عنصر من المجموعة X له درجة عضوية في الفترة المغلقة [0,1] والذي يمثل درجة عضوية العنصر X الى الدالة العضوية المضببة $\mu_A: X \to [0,1]$

$$\mu_A(x) = \begin{cases} 0 & if \quad x \notin A \\ 1 & if \quad x \in A \end{cases} \tag{9}$$

اذ تلعب الدالة العضوية دوراً اساسياً في نظرية المجموعة المضببة وان اختيار الدالة العضوية يعتمد على طبيعة المسألة قيد الدراسة. (Espinosa et al,).

Membership Function : الدالة العضوبة 1.5

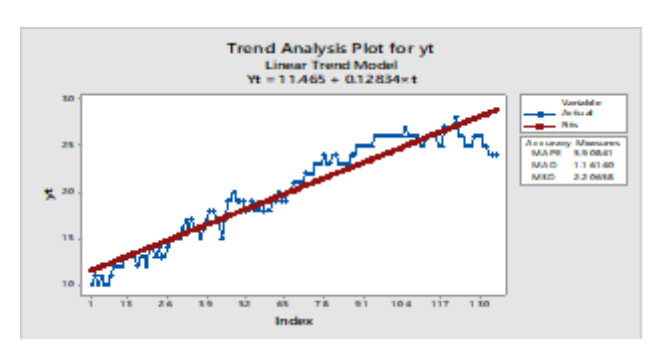
يقال ان العضوية تعبير عن درجة الارتباط، اذ عندما نأخذ مجموعة (الطول) فان درجة انتماء العنصر إلى هذه المجموعة مرتبط بدرجة تحقق مفهوم الطول ويمكننا القول بطريقة أخرى إن درجة العضوية للفرد في المجموعة المضببة تعبر عن درجة توافقه مع مفهوم تلك المجموعة المضببة . تقع درجة الانتماء اليها في الفترة [0,1] ويكون الانتماء اليها كاملا او جزئيا" وربما تكون مسالة المنطقية صحيحة بدرجة معينة فيمكن التعبير عن المجموعات المضببة من تعيين درجة العضوية Degree of Membership (حميد واخرون،2018) إن المنطق المضبب هو الأسلوب المناسب لمعالجة الغموض والادقة الموجودة في حياتنا إذ أن الاستنتاج المضبب هو تطبيق للمنطق المضبب وهو الضبابية الموجودة في قراراتنا وفي طريقة تفكيرنا أو في طريقة معالجة للمعلومات فمن المعروف أن المنطق الكلاسيكي يعتمد على قيمتين حقيقيتين (الصح، الخطأ) لكن ذلك المنطق يشوبه بعض القصور خصوصا عند وصف الأفكار البشرية، وهنا تظهر أهمية المنطق المضبب في التعامل مع أسلوب التفكير الإنساني، حيث يستخدم فترة ما بين الصفر (الخطأ) والواحد (الصح)، ويقوم المنطق المضبب على وجود تابع قيمته عند عنصر معين هي قيمة حقيقية تقع بين [0,1] هذه القيمة تعبر عن انتماء هذا العنصر الى مجموعة ما. فإذا كانت قيمته هذا التابع واحدا فان العنصر ينتمي اليها تماما وإذا كانت قيمته صفرا فالعنصر لا ينتمي الى هذه المجموعة أبداً. إما إذا كانت قيمته بين[0,1] فيشير إلى مدى انتماء العنصر الى هذه المجموعة.

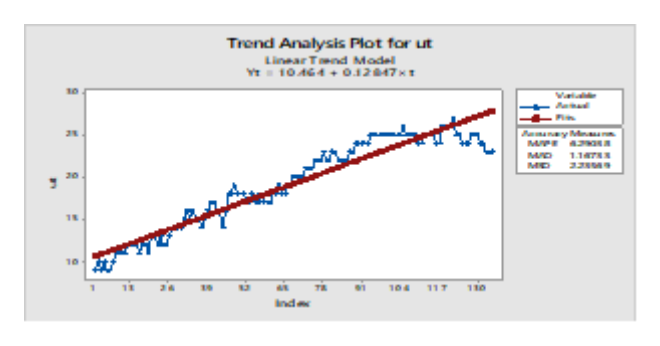
Application Side 6

تمر عملية بناء النماذج الحركية بعدة خطوات او عدة مراحل لكي نحصل بعدها على نموذج ملائم يصف البيانات بشكل كامل بحيث يصبح النموذج جاهزا للاستخدام والنطبيق ومن ضمنها عملية التنبؤ، وهذه الخطوات التي اتبعها بوكس -جنكيز لبناء النماذج في السلاسل الزمنية وهذه الخطوات هي التشخيص او للاستخدام والنطبيق (Diagnostic Checking) ويجب على المعرفة التعريف (Estimation) وعملية التقدير المعالمة التنبؤ بالظاهرة قيد النموذج اجتياز هذه الخطوات جميعها ليصبح من نموذج تجربيي الى نموذج جاهز بشكل نهائي ليستخدم في التطبيقات ومن ضمنها التنبؤ بالظاهرة قيد الدراسة. في هذا البحث تم الحصول على بيانات لفحوصات يومية طبيعية في كل ماء ولكن تختلف في الزيادة والنقصان حسب طبيعة الماء ، اذ يحتوي الماء بطبيعته او تركيبه على شوائب عالقة ومواد مذابة ويحتاج الى بعض المعالمات وتتمثل الفحوصات بتحويل الماء الخام الى ماء صالح للشرب بعد مروره بعدة مراحل يتم من خلالها تصفيته ، تم الحصول على بعض القياسات لفحوصات الماء من احدى محطات تصفية المياه وبالتحديد محطة تصفية ماء الابسر المحدود في مدينة الموصل ، اذ تم اخذ بعض العينات لفحوصات الماء الخام الغير صالح للشرب قبل عملية التصفية وتم معالمتها وهنالك العنيد من ولوج هذه الحرارة الموصل ، اذ تم اخذ بعض العينات لفحوصات الماء الخام الغير صالح للشرب قبل عملية المثرب والتأكد ايضا من وقوع هذه العراقية للماء التراق المعدود و المعول على نفس الفحوصات بعد عملية التصفية للماء النسب المحددة ، تم اخذ متغير واحد كمدخلات وهو درجة الحرارة قبل عملية التصفية ويضا درجة الحرارة للماء بعد عملية التصفية ويرمز له على المنفود ومتغير الاخراج يتمثل متغير الادخال بدرجات الحرارة للمياه قبل عملية التصفية ويرمز له على المتغير الخراج يتمثل متغير الاحرام المنفود ومتغير اخراج المنفود ومتغير الادخال منفرد ومتغير اخراج منفرد داذ يتمثل متغير الادخال بدرجات الحرارة للمياه قبل عملية التصفية ويرمز له علية التصفية اي معنفية التصفية اي معنفية التصفية ويرمز له علية التصفية ويرمز له علية التصفية ويرمز له عملية التصفية المؤد ومتغير الادخال منفرد ومتغير الأدرام المنفد دافرة عملية التصفية التصفية التصفية المناد ومتغير الادخال منفرد ومتغير الادخال منفرد ومتغير الأدراء المناد ومتغير الادخال منفرد ومتغير الادخال منفرد متغير الادخال منفرد متغير الادخال منفرد منفرد منفر

اولا": ايجاد نموذج دالة التحويل في حالة أخذ البيانات الاصلية والمضببة:

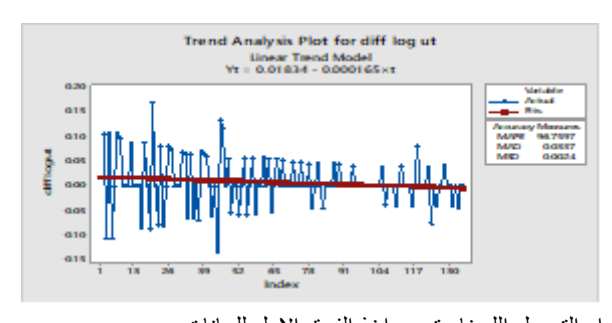
تم بناء نموذج دالة التحويل بعد التحليل المتبع او المتعارف عليه في تحليل اي بيانات سلسلة زمنية من ناحية اختبار البيانات ومعالجتها اي نظام تحليل السلاسل الزمنية ومنهجية بوكس –جنكيز في بناء نماذج دالة التحويل ، اذ تم الاعتماد على بعض البرمجيات الجاهزة في تحليل ومعالجة واختبار بيانات السلسلة الزمنية وكانت البداية في عملية ادخال البيانات في نظام ال MINITAB 16 اذ تم ادخال البيانات لسلسلةي الادخال والاخراج المتمثلة به مشاهدة لكل متغير من المدخلات والمخرجات وتم اتباع الخطوات الاساسية من خلال رسم مشاهدات السلسلة الزمنية ، اذ تم رسم سلسلة المدخلات والمخرجات وكما موضحة في الشكل الآتي:

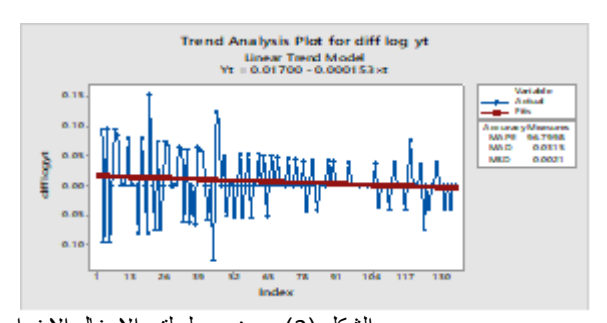




الشكل (1): يمثل الرسم الزمني لسلستي الادخال والاخراج A : يمثل سلسلة المدخلات B : يمثل سلسلة المخرجات

نلاحظ من الشكل (1) اعلاه ان سلسلتي المدخلات والمخرجات غير مستقرة في الوسط والتباين اذ نلاحظ مقدار تشتت البيانات مما يدل على عدم استقراريتها بالتباين اذ تم تقسيم السلسلة الى عدة اجزاء ولاحظنا مقدار الانحراف المعياري لهذه الاجزاء منسجم بشكل نسبي مما يدل على عدم الاستقرارية بالتباين عليه تم اجراء التحويل للبيانات وهو التحويل اللوغاريتمي وايضا تم ايجاد مقدار الوسط الحسابي للأجزاء التي قسمت اليها السلسلة ولاحظنا انسجامها بشكل نسبي المتوسطات لهذه الاجزاء مما دل على عدم استقرارية السلاسل في الوسط عليه تم اخذ الفرق الاول للسلسلتين المدخلات والمخرجات بعد اجراء التحويل للسلستين وكانت النتيجة موضحة في الشكل الآتي:





الشكل (2): يوضح سلسلتي الادخال الاخراج بعد اجراء التحويل اللوغاريتمي واخذ الفرق الاول للبيانات A: سلسلة المدخلات بعد ان اصبحت مستقرة بالوسط والتباين ، B: سلسلة المدخلات بعد ان اصبحت مستقرة بالوسط والتباين

ان اولى خطوات بناء نموذج دالة التحويل لسلستي الادخال والاخراج هو تتقية السلسلتين ، اذ تم تنقية سلسلة الادخال من اخذ اول 130 مشاهدة وترك 4 مشاهدات لعملية التنبؤ. وبأتباع الخطوات الاساسية في بناء نماذج دالة التحويل الموضحة في الجانب النظري تم الحصول على نموذج دالة التحويل بالشكل الآتي:

$$y_{t} = \left(\frac{\omega_{0}}{1 - \delta_{1} a^{-1} - \delta_{2} a^{-2}}\right) u_{t} + \left(\frac{1 - \theta_{1} q^{-1} - \theta_{2} q^{-2} - \theta_{3} q^{-3}}{1 - \theta_{1} a^{-1} - \theta_{2} a^{-2}}\right) e_{t}$$

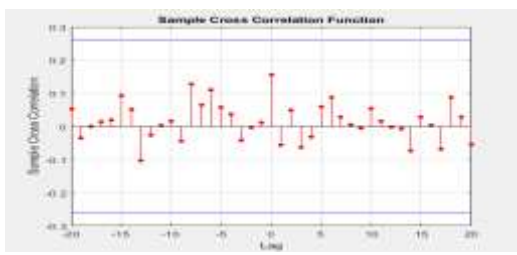
$$(10)$$

وبعد التبسيط نحصل على نموذج دالة التحويل بالشكل الآتى:

$$y_{t} = (\emptyset_{1} + \delta_{1})y_{t-1} - (\emptyset_{2} + \delta_{2} + \delta_{1})y_{t-2} + (\delta_{1}\emptyset_{2} + \delta_{2}\emptyset_{1})y_{t-3} + \delta_{2}\emptyset_{2}y_{t-4} + \omega_{0}u_{t} - \emptyset_{1}\omega_{0}u_{t-1} - \emptyset_{2}\omega_{0}u_{t-2} + e_{t} - (\theta_{1} + \delta_{1})e_{t-1} - (\theta_{2} - \delta_{1}\theta_{1} + \delta_{2})e_{t-2} - (\theta_{3} - \delta_{1}\theta_{2} + \delta_{2}\theta_{1})e_{t-3} + (\delta_{1}\theta_{3} + \delta_{2}\theta_{2})e_{t-4} + \delta_{2}\theta_{3}e_{t-5}$$

$$(11)$$

وتم التأكد من دقة النموذج الذي تم الحصول عليه من خلال فحص بواقي النموذج اذ كانت عشوائية تماما مما يدل على صحة اختيار النموذج وكما مبين في الشكل الآتي:



الشكل (3):يوضح بواقي افضل نموذج تم الحصول عليه

بعد معالجة البيانات باستخدام اسلوب المنطق المضبب تم استخدام الدالة العضوية الكاوزيان Gauss في تمثيل البيانات بنوعيها المدخلات والمخرجات اذ تم تضبيبها حيث تم تضبيب المدخلات بمتوسط مقداره (0.0021) ومتوسط مقداره (0.0067) للمخرجات وتباين مقداره (0.0021) بعد ذلك تم الحصول على بيانات مضببة تتراوح قيمها بين [0,1] وبأتباع نفس الخطوات السابقة في بناء نموذج دالة التحويل تم الحصول على افضل نموذج دالة التحويل وكما موضح في المعادلة الأتية:

$$y_t = \left(\frac{\omega_0 - \omega_1 B}{1 - \delta_1 q^{-1}}\right) u_t + \left(\frac{1 - \theta_1 q^{-1} - \theta_2 q^{-2}}{1 - \emptyset_1 q^{-1}}\right) e_t$$

وبعد التبسيط نحصل على نموذج دالة التحويل بالشكل الآتي:

$$y_t = \delta_1 y_{t-1} + \emptyset_1 y_{t-1} - \delta_1 \emptyset_1 y_{t-2} + \omega_0 u_t - \omega_1 u_{t-1} + e_t - \theta_1 e_{t-1} - \theta_2 e_{t-2}$$

والجدول الآتي يوضح القيم التنبؤية لنماذج دالة التحويل للبيانات الحقيقية البيانات المضببة:

جدول (1): القيم التنبؤية للبيانات الحقيقية والمضببة مع المعايير الاحصائية لنموذج دالة التحويل

ت	يم الاصلية	الق	القيم التنبؤية		
	المنطق المضبب	دالة التحويل	المنطق المضبب	دالة التحويل	
131	0	0	-0.1020	-0.0381	
132	-0.053	-0.0408	-0.0788	0.3655	
133	0	0	-0.0399	0.0526	
134	0	0	-0.0327	0.3979	
ME			0.0500	-0.2046	
MSE			0.0034*	0.0819	
	RMSE	0.0585*	0.2861		

ثانيا": تشخيص نماذج فضاء الحالة للبيانات الاصلية والبيانات المضببة

تشخيص عدة نماذج لفضاء الحالة وبنفس الاسلوب المتبع في تشخيص نموذج دالة التحويل من حيث تهيئة البيانات من ناحية الاستقرارية للمدخلات والمخرجات وبأستخدام نظام الماتلاب 2020 والاسلوب الذي اتبع من قبل العالم 1999 اذ تم دمج البيانات في كائن سمي Z وهو عبارة عن مصفوفة بأبعاد تضم عدد المتغيرات في الاعمدة وعدد المشاهدات في الصفوف اي انها في هذا المبحث سيتضمن متغيرين في الاعمدة اولهما المدخلات U(t) والعمود الثاني يضم المخرجات Y(t) وبعدد مشاهدات في الصفوف به 135 مشاهدة، بعد ذلك تم تقسيم هذا الكائن الذي يضم البيانات الى جزأين او كائنين اولهما يرمز له Ze ويسمى بكائن التقدير الذي يتم من خلاله تقدير نماذج فضاء الحالة ويضم 130 مشاهدة ، اما الكائن الثاني ويرمز له Ze الذي

يطلق عليه كائن الشرعية او ما يسمى المقارنة، عليه فقد تم تشخيص عشرة نماذج لفضاء الحالة برتب من 1 الى 10 وايجاد قيم بعض المعايير الاحصائية والهندسية وايجاد افضل نموذج فضاء الحالة الذي يقابل اقل قيم لهذه المعايير وكانت النتائج موضحة في الجدول الآتي:

				- , ,		
Models	Aic	Fpe	Mse	Fitt	Zpplot	Resid
S1	-6.149	0.0021	0.0020	-21.8%	Stable	Random
S2	-6.235	0.0020	0.0017	35.3%	Non-Stable	Random
S3	-6.119	0.0022	0.0019	32.6%	Non-Stable	Random
S4	-6.182	0.0021	0.0016	100%	Non-Stable	Random
S5	-6.337	0.0018	0.0013	100%	Stable	Random
S6	-6.056	0.0024	0.0016	100%	Non-Stable	Random
S7	-5.993	0.0025	0.0016	100%	Non-Stable	Random
S8	-6.165	0.0021	0.0012	100%	Non-Stable	Random
S9	-6.159	0.0021	0.0012	100%	Non-Stable	Random
S10	-6.018	0.0025	0.0013	100%	Non-Stable	Random

جدول (2) :نماذج فضاء الحالة مع المعايير الاحصائية والهندسية

نلاحظ من الجدول اعلاه وبعد تشخيص نماذج فضاء الحالة برتب مختلفة من 1 الى 10 ان افضل نموذج فضاء الحالة هو الذي يقابل اقل قيم المعايير الاحصائية ومنها معيار اكاكي الذي كانت قيمته (6.337) ومعيار خطأ التنبؤ النهائي الذي تبلغ قيمته (0.0018) ومعيار متوسط مربعات الخطأ وقيمته (0.0013) فضلا عن استقرارية النموذج من حيث مطابقة البيانات لأفضل نموذج وهي 100% مع ملاحظة ان البواقي لهذا النموذج كانت عشوائية تماما ويمكن ملاحظة تفاصيل افضل نموذج باستخدام متعددات الحدود وكما موضح في المعادلة الآتية: ويمكن اعادة صياغة نموذج فضاء الحالة من الرتبة الخامسة لغرض ايجاد القيم التنبؤية بالشكل الآتي:

$$Y(t) = 0.4674Y(t-1) - 0.6099Y(t-2) - 0.2278Y(t-3) + 0.7841Y(t-4) - 0.5598Y(t-5) + 0.4683U(t-1) - 0.0568U(t-2) + 0.5468U(t-3) - 0.6227U(t-4) + 0.532U(t-5) + e(t) - 1.232e(t-1) + 0.9082e(t-2) - 0.5291e(t-3) - 0.3903e(t-4) + 0.4383e(t-5)$$

وبنفس الاسلوب وبعد معالجة البيانات باستخدام المنطق المضبب وباستخدام الدالة الكاوسية والتي تم الاشارة اليها في الجانب النظري عند تشخيص نماذج دالة التحويل وتم ايضا ايجاد نماذج فضاء الحالة من الرتبة1 الى الرتبة 10 وكانت النتائج موضحة في الجدول الآتي:

Models	Aic	Fpe	Mse	Fitt	Zpplot	Resid
S1	-6.158	0.0021	0.00202	-323.8%	Stable	Random
S2	-6.115	0.0022	0.00201	-174.4%	Non-Stable	Random
S3	-6.125	0.0022	0.00190	-50.2%	Non-Stable	Random
S4	-6.155	0.0021	0.00176	100%	Non-Stable	Random
S5	-6.341	0.0018	0.00129	100%	Stable	Random
S6	-6.265	0.0019	0.00131	100%	Non-Stable	Random
S7	-6.184	0.0021	0.00134	100%	Non-Stable	Random
S8	-6.157	0.0021	0.00129	100%	Non-Stable	Random
S9	-6.333	0.0018	0.00102	100%	Non-Stable	Random
S10	-6.095	0.0023	0.00121	100%	Non-Stable	Random

جدول(3) :نماذج فضاء الحالة مع المعايير الاحصائية والهندسية للبيانات المضببة

نلاحظ من الجدول اعلاه وبعد تشخيص نماذج فضاء الحالة برتب مختلفة من 1 الى 10 للبيانات بعد معالجتها باستخدام الاسلوب المضبب ان افضل نموذج فضاء الحالة هو الذي يقابل اقل قيم للمعايير الاحصائية ومنها معيار اكاكي الذي كانت قيمته (6.341-6) ومعيار خطأ النتبؤ النهائي الذي تبلغ قيمته (0.0018) ومعيار متوسط مربعات الخطأ وقيمته (0.0013) فضلا عن استقرارية النموذج من حيث مطابقة البيانات لأفضل نموذج وهي 100% مع ملاحظة ان البواقي لهذا النموذج كانت عشوائية تماما. ويمكن صياغة نموذج فضاء الحالة من الرتبة الخامسة لغرض ايجاد القيم النتبؤية بالشكل الآتي:

```
Y(t) = 0.7413Y(t-1) - 0.2174Y(t-2) - 0.1241Y(t-3) + 0.8617Y(t-4) - 0.4156Y(t-5) \\ + 0.00964U(t-1) - 0.1139U(t-2) + 0.3562U(t-3) - 0.5085U(t-4) + 0.394U(t-5) \\ + e(t) - 0.913e(t-1) + 0.2494e(t-2) + 0.0176e(t-3) - 0.8758e(t-4) + 0.541e(t-5)
```

والجدول (4): يوضح معايير ضبط دقة التنبؤ لنموذج دالة التحويل ونموذج فضاء الحالة الذين تم الحصول عليهما من القيم الاصلية للبيانات والقيم المضببة. جدول (4): معايير ضبط دقة التنبؤ

	نموذج دالة التحويل		نموذج فضاء الحالة		
المعايير	البيانات الاصلية	البيانات المضببة	البيانات الاصلية	البيانات المضببة	
ME	-0.2046	0.0500	-0.0262	-0.0339*	
MSE	0.0819	0.0034*	0.00098	0.0028	
RMSE	0.2861	0.0585*	0.0313	0.0534*	

Conclusion and Recommendations الاستنتاجات والتوصيات

ان استخدام الاسلوب الكلاسيكي لبناء نماذج دالة التحويل ونماذج فضاء الحالة وتوظيف اسلوب المنطق المضبب ، ثم استخدام النموذجين في الحالتين للتنبؤ ، نستنتج ان التنبؤ باستخدام اسلوب المنطق المضبب كان متفوقا على الاسلوب الكلاسيكي لنموذج دالة التحويل ونموذج فضاء الحالة وتبين ذلك من خلال نتائج معايير ضبط دقة التنبؤ لحساب اخطاء التنبؤ اظهرت ان نموذج دالة التحويل بأسلوب المنطق المضبب اعطى اقل قيم للمعايير المستخدمة ، وكذلك فان نموذج فضاء الحالة في اعطاء فضل قيم للتنبؤ فضاء الحالة في اعطاء افضل قيم للتنبؤ باستخدام الاسلوب المضبب لذلك تعد النماذج الحركية هي الافضل في اعطاء قيم تنبؤية عليه يعد هذا الاسلوب الافضل والاكثر دقة للتنبؤ بالقيم المستقبلية لنموذج دالة التحويل ونموذج فضاء الحالة.

References

- 1. Hamid, Shilan Amin, Salim, Raed, Imran, Hassan Ali (2018), "Estimating the productivity of road construction equipment using fuzzy logic and artificial neural networks", Journal of Engineering and Technology, Volume 36, Special Issue, University of Technology, Iraq.
- 2. Abraham, Bovas & Ledolter, Johannes(2005).:"Statistical Methods for Forecasting", John Wily and Sons ,United tates of America.
- 3. Bandemer, H.W.(2006). "Mathematics of Uncertainty: Ideas, Methods, Application, Problems ", Springer-Verlag Berlin Heidelberg, Printed in The Netherlands.
- 4. Box, G., Jenkins, G., Reinsel, G. and Ljung G., (2016), "Time Series Analysis Forecasting and control", John wiley & Sons, Inc. Hoboken, New Jersey.
- 5. Espinosa, J., Vandewalle, J. and Wertz, V. (2005). "Fuzzy Logic: Identification and Predictive Control", Springer-Verlag London, Printed in the United States of America.
- 6. Jose Casals, Alferdo Garcia Hiernaux, Miguel Jerez, Sonia Sotoca, A.Alexandre Trindade, (2016). "State-Space Methods for Time Series Analysis: Theory Applications and Software", 1st Edition, Chapman and Hall/CRC.
- 7. Makridakis, S. WheelWright, S. and Hydman, R. (1998). "Forecasting: Methods and Applications", 3rd ed., John-Wiley and Sons, New York, USA.
- 8. Makridakis, S., Wheelwright, S., & Mcgee, E.,(1983):"Fore-casting :Methods and Applications ",2nd ed. John Wiley & Sons New York U.S.A.
- Najm Abboud Najm,2001." Operations Department: Modern Systems, Methods, and Trends", Part One, General Administration of Printing and Publishing in Mohid Public Administration, Riyadh, Kingdom of Saudi Arabia
- 10. Nelles, O.,(2001): "Nonlinear System Identification from Classical Approach to Neural Network and Fuzzy Models", Springer Verlag Belin Heidelberg Germany.

Comparison Prediction of Transfer Function Models and State Space Models Using Fuzzy Method

Fahd Samer Sobhi & Hayam Abdel-Majid Hayawi College of Computer Science and Mathematics, University of Mosul

Abstract: The research aims to build dynamic models represented by the transfer function and State Space Models of a single input variable and a single output variable, The input and output variables are represented by the temperatures of the water before the filtration process and after the filtration process to convert it into potable water As a transfer function model will be built for a single input variable and a single output variable for real data and Fuzzy data, building transfer function models and state space models, finding predictive values and comparing results.

Keyword: Dynamic System ,Transfer Function ,Time Series